Рассмотрим общую структуру системы диагностирования (рис. 1). На объект диагностирования (ОД) действуют внешние воздействия, приводящие к возникновению дефектов. Диагностические признаки (ДП), сформированные на основе модели ОД, подаются на блок, реализующий алгоритм принятия решения (АПР), который должен выдать сигнал о наличии или отсутствии дефекта.



Рис. 1. Общая структура системы диагностирования.

По способу получения информации об объекте диагноза различают апостериорный и последовательный анализ.



Один из возможных вариантов построения последовательных АПР состоит в формировании решающей функции (G(n)) на основе ДП объекта (z(n)) и сравнении ее с порогом h, что проиллюстрировано на рис. 2.

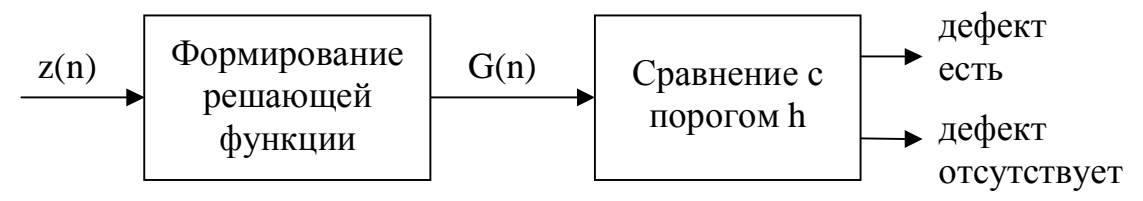


Рис. 2. Структура алгоритма принятия решения.

Результатом работы каждого алгоритма является решение о наличии или отсутствии дефекта в каждый момент времени. Для этого на каждом шаге по значениям сигнала $z(n) \in N(\mathbf{m}_1, b_1)$ вычисляется решающая функция G(n) и сравнивается с порогом (порогами).

Типы дефектов

Дефект 1: однократное скачкообразное изменение математического ожидания.

$$|z(n) \in N(m_1, b_1), n \in [0, n_0]$$

$$|z(n) \in N(m_2, b_1), n \in [n_0 + 1, N]$$

$$|z(n) \in N(m_2, b_1), n \in [n_0 + 1, N]$$

Дефект 2: однократное скачкообразное изменение дисперсии.

$$z(n) \in N(\mathbf{m}_1, \mathbf{b}_1), n \in [0, n_0]$$

$$z(n) \in N(\mathbf{m}_1, \mathbf{b}_2), n \in [n_0 + 1, N]$$

Дефект 3: восстанавливаемое скачкообразное изменение математического ожидания.

$$z(n) \in N(\mathbf{m}_{1}, \mathbf{b}_{1}), n \in [0, n_{1}]$$

$$z(n) \in N(\mathbf{m}_{2}, \mathbf{b}_{1}), n \in [n_{1} + 1, n_{2}]$$

$$z(n) \in N(\mathbf{m}_{1}, \mathbf{b}_{1}), n \in [n_{2} + 1, n_{3}]$$

$$z(n) \in N(\mathbf{m}_{2}, \mathbf{b}_{1}), n \in [n_{3} + 1, n_{4}]$$

$$\mathbf{L}$$

$$z(n) \in N(\mathbf{m}_{1}, \mathbf{b}_{1}), n \in [n_{m} + 1, N]$$

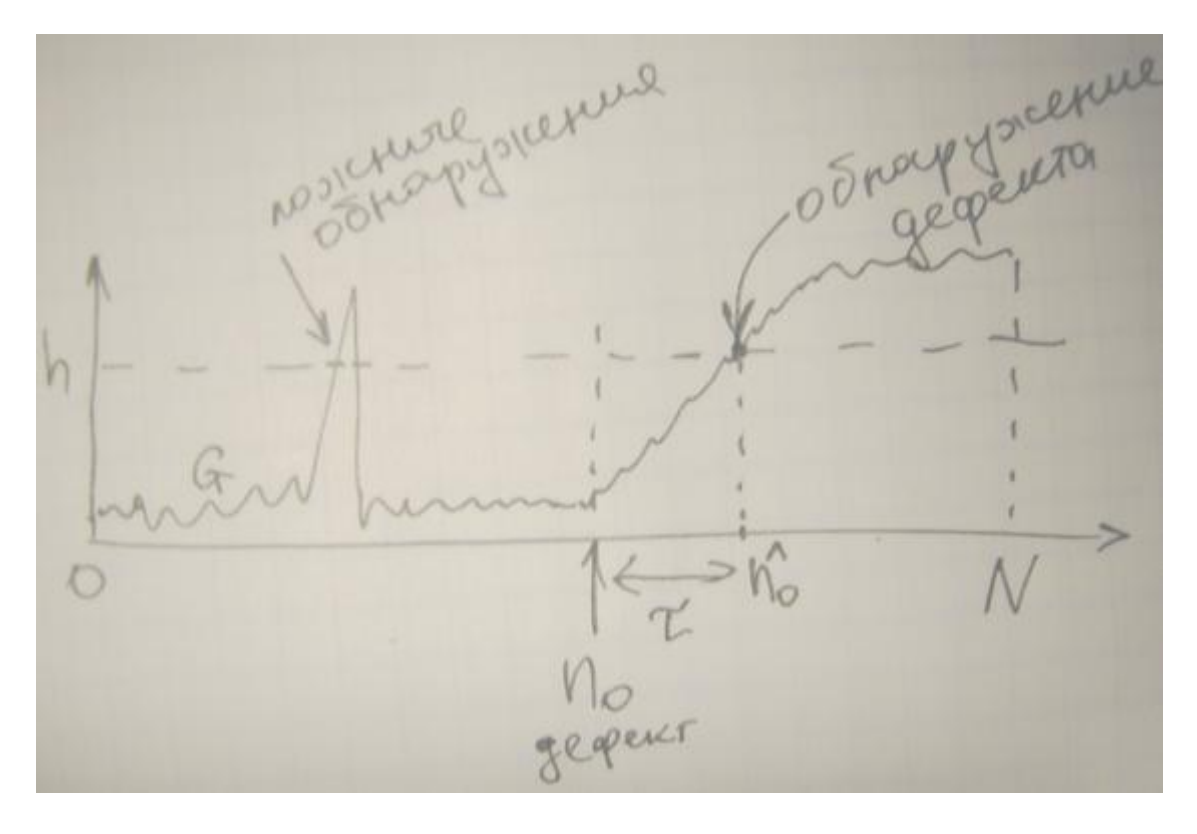
Дефект 4: восстанавливаемое скачкообразное изменение дисперсии.

$$\begin{aligned} & | z(n) \in N(\mathbf{m}_1, \mathbf{b}_1), n \in [0, n_1] \\ & z(n) \in N(\mathbf{m}_1, \mathbf{b}_2), n \in [n_1 + 1, n_2] \\ & z(n) \in N(\mathbf{m}_1, \mathbf{b}_1), n \in [n_2 + 1, n_3] \\ & z(n) \in N(\mathbf{m}_1, \mathbf{b}_2), n \in [n_3 + 1, n_4] \end{aligned}$$

$$\mathbf{L}$$

$$z(n) \in N(\mathbf{m}_1, \mathbf{b}_1), n \in [n_m + 1, N]$$

Критерии качества обнаружения



Оценкой вероятности ложного обнаружения (Рло) является частота ложных обнаружений – отношение числа обнаружений к объему выборки при отсутствии дефекта:

$$P_{_{\! MO}} = rac{1}{N} \sum_{i=1}^{N} v_i \; ,$$
 где N – объем выборки, $v_i = egin{cases} 1, G(i) \geq h \ 0, G(i) < h \end{cases} .$

Среднее время обнаружения (Г) – среднее смещение момента обнаружения относительно истинного момента дефекта:

$$\mathcal{T} = \frac{1}{K} \sum_{j=1}^{K} t_j,$$

где K – количество реализаций,

 $t_{\ j}=\hat{n}_{0\ j}-n_0$ – время обнаружения одной реализации,

 n_0 – время появления дефекта,

$$\hat{n}_0$$
 – время обнаружения дефекта, $\hat{n}_0 = \min_{n \geq n_0} \{n : G(n) \geq h\}.$

1. Алгоритмы кумулятивных сумм

В алгоритмах данного класса на каждом шаге рассчитывается так называемая кумулятивная сумма.

1.1. Алгоритм Пейджа

Алгоритм Пейджа [15]:

$$G(n) = \begin{cases} S_n - \min_{1 < k < n} S_k, m_2 > \mathbf{m}_1, S_n = \sum_{1}^{n} (z(i) - \mathbf{m}_1 - v/2) \\ \max_{1 < k < n} S_k - S_n, m_2 < \mathbf{m}_1, S_n = \sum_{1}^{n} (z(i) - \mathbf{m}_1 + v/2) \end{cases}, \tag{1.1}$$

где $m_2 = \overline{z}$,

 m_1 — математическое ожидание выходного сигнала z до появления дефекта,

n > 0 – порог чувствительности.

Решение о наличии или отсутствии дефекта в каждый момент времени принимается на основе результатов сравнения:

 $G < h \Longrightarrow$ дефекта нет,

 $G \ge h \Longrightarrow$ есть дефект,

где h > 0 – порог срабатывания.

Модификация алгоритма (рекуррентный вид)

 $= \min \left[\hat{S}_{n-1}, S_n \right]$

Исходная формула (1.1) для случая $m_2 > m_1$ преобразуется к виду:

$$G(n) = S_n - \hat{S}_n$$
, где $\hat{S}_n = \min(\hat{S}_{n-1}, S_n)$, $S_n = S_{n-1} + z(n) - m_1 - v / 2$.

Начальные условия: $S_1 = z(1) - m_1 - v/2$, $\hat{S}_1 = S_1$.

Вывод рекуррентной формулы:

$$G_{n} = S_{n} - \min_{1 < k < n} S_{k} = S_{n} - \hat{S}_{n}$$

$$S_{n} = \sum_{1}^{n} (z_{i} - \mathbf{m}_{1} - v/2) =$$

$$= \sum_{1}^{n-1} (z_{i} - \mathbf{m}_{1} - v/2) + (z_{n} - \mathbf{m}_{1} - v/2) =$$

$$= S_{n-1} + (z_{n} - \mathbf{m}_{1} - v/2)$$

$$\hat{S}_{n} = \min_{1 < k < n} S_{k} =$$

$$= \min \left[\min_{1 < k < n-1} S_{k}, S_{n} \right] =$$

Для случая
$$m_2 < \pmb{m}_1$$
 преобразуется к виду: $G(n) = \hat{S}_n - S_n$, где $\hat{S}_n = \max(\hat{S}_{n-1}, S_n)$, $S_n = S_{n-1} + z(n) - \pmb{m}_1 + v/2$. Начальные условия: $S_1 = z(1) - \pmb{m}_1 + v/2$, $\hat{S}_1 = S_1$.

1.2. Алгоритм кумулятивных сумм с отражающим экраном

Алгоритм кумулятивных сумм с отражающим экраном (АКС) представляет собой модифицированную форму записи алгоритма Пейджа [15]:

$$G(n) = \begin{cases} \max\{0, G(n-1) + z(n) - \mathbf{m}_1 - v/2\}, m_2 > \mathbf{m}_1 \\ \max\{0, G(n-1) + z(n) - \mathbf{m}_1 + v/2\}, m_2 < \mathbf{m}_1 \end{cases},$$

$$G(0) = 0.$$

Аналитическая настройка параметров алгоритма

При диагностировании изменений свойств процесса авторегрессии оценка вероятности ложного обнаружения определяется по формуле [16]:

$$P_{no} = \frac{(m'-m)^2 \left(1 - \sum_{i=1}^{p} a_i\right)^2}{2b(e^h - h - 1)},$$

оценка среднего времени обнаружения определяется по формуле:

$$\tau = \frac{2b}{(m-m)^2 \left(1 - \sum_{i=1}^{p} a_i\right)^2} \left(e^{-h} + h - 1\right),$$

где a_i – коэффициенты авторегрессии,

р – порядок авторегрессии,

II – математическое ожидание процесса авторегрессии до разладки,

m' – математическое ожидание процесса авторегрессии после разладки,

b – дисперсия процесса авторегрессии,

h – порог срабатывания алгоритма.

Если сигнал z(n) имеет составляющую типа редких больших выбросов, то алгоритмы Пейджа и АКС могут стать неприемлемыми, так как выброс резко увеличивает значение решающей функции и приводит к ложному обнаружению. Поэтому вводят две модификации алгоритма [8].

Первый вариант модифицированного алгоритма (АКС-м):

$$G(n) = \begin{cases} \max\{0, G(n-1) + \text{sign}(z(n) - m_1 - v/2)\}, m_2 > m_1 \\ \max\{0, G(n-1) + \text{sign}(z(n) - m_1 + v/2)\}, m_2 < m_1 \end{cases},$$

$$G(0) = 0.$$

Второй вариант модифицированного алгоритма (АКС-м2):

$$G(n) = \begin{cases} \max\{0, (G(n-1)+1) \cdot \text{sign}(z(n) - m_1 - v/2)\}, m_2 > m_1 \\ \max\{0, (G(n-1)+1) \cdot \text{sign}(z(n) - m_1 + v/2)\}, m_2 < m_1 \end{cases},$$

$$G(0) = 0.$$

1.3. Алгоритм Сегена-Сандерсона

Алгоритм Сегена-Сандерсона [18]:

$$G(n) = \max_{i \le n} \left\{ S_i - \min_{k \le i} S_k \right\},$$
 где $S_i = \sum_{j=1}^i z(j).$

Для получения возможности настройки алгоритма вводится модификация алгоритма:

$$G(n) = \frac{1}{\max(v, n)} \max_{i \le n} \left\{ S_i - \min_{k \le i} S_k \right\},\tag{1.2}$$

где n > 0 – порог чувствительности алгоритма.

Модификация алгоритма (рекуррентный вид)

Исходная формула (1.2) преобразуется к виду:

$$G(n) = \frac{\hat{G}_n}{\max(v,n)},$$
 где $\hat{G}_n = \max(\hat{G}_{n-1},S_n-\hat{S}_n),$ $\hat{S}_n = \min(\hat{S}_{n-1},S_n),$ $S_n = S_{n-1} + z(n).$ Начальные условия: $S_1 = z(1), \; \hat{S}_1 = S_1, \; \hat{G}_1 = 0$.

1.4. Алгоритм Надлера-Роббинза

Алгоритм Надлера-Роббинза [17]:
$$G(n) = \max_{0 \le k \le n} S_k - \min_{0 \le k \le n} S_k,$$
 (1.3)
где $S_0 = 0$, $S_k = \sum_{i=1}^k (z(j) - \mathbf{m}_1)$.

Модификация алгоритма (рекуррентный вид)

Исходная формула (1.3) преобразуется к виду:
$$G(n) = S_n - S_n ,$$
 где $S_n = \max \left(S_{n-1}, S_n \right),$ $S_n = \min \left(S_{n-1}, S_n \right),$ $S_n = S_{n-1} + z(n) - m_1.$ Начальные условия: $S_1 = z(1) - m_1, \ S_1 = S_1, \ S_1 = S_1.$

2. Алгоритмы со сглаживанием

2.1. Алгоритм сигнального отношения

Алгоритм сигнального отношения (АСО) [13]:

$$G(n) = \frac{S(n)}{R(n)},\tag{2.1}$$

где
$$S(n) = (1-a)S(n-1) + ae(n),$$
 (2.2)

$$R(n) = (1-a)R(n-1) + a|e(n)|, (2.3)$$

$$e(n) = z(n) - \mathbf{m}_1. \tag{2.4}$$

Начальные значения:

$$S(0) = 0$$
, $R(0) = \sqrt{\frac{2}{p}}$.

Параметры алгоритма:

 m_1 — математическое ожидание выходного сигнала объекта до появления дефекта,

0 < a < 1 – коэффициент сглаживания.

Решение о наличии или отсутствии дефекта в каждый момент времени принимается на основе результатов сравнения:

$$h_1 < G < h_2 = >$$
 дефекта нет,

$$G \ge h_2$$
 , $G \le h_1 \Longrightarrow$ есть дефект.

где $-1 < h_1 < h_2 < 1$ – нижний и верхний пороги срабатывания:

Значения решающей функции, сформированной по данному алгоритму, распределены нормально с нулевым математическим ожиданием и дисперсией

$$q^{2} = \frac{pa}{2\left(2-\frac{2}{p}\right)^{2}(2-a)},$$

где a < 0.176 – коэффициент сглаживания.

Оценка вероятности ложного обнаружения определяется по формуле [13]:

$$P_{no} = 1 - \frac{1}{2} erf\left(\frac{h_2}{q\sqrt{2}}\right) + \frac{1}{2} erf\left(\frac{h_1}{q\sqrt{2}}\right),$$

$$erf(x) = \frac{2}{\sqrt{p}} \int_{0}^{x} e^{-t^2} dt$$

где $-1 < h_1 < h_2 < 1$ – нижний и верхний пороги срабатывания.

При диагностировании изменения математического ожидания случайного процесса от $\mathbf{m}_1 = 0$ до $\mathbf{m}_2 > 0$ и симметричных порогах h = h2 = -h1 оценка среднего времени обнаружения определяется по формуле:

$$\mathcal{T} = \begin{bmatrix} \ln \left(\frac{r(1-h)}{r(1-h) + \frac{2h}{\sqrt{2p}}} \right) \\ \ln(1-a) \end{bmatrix} - 1$$

где
$$r = \frac{\mathbf{m}_2}{\mathbf{b}_1}$$
,

 $\lceil x \rceil$ – округление сверху – ближайшее целое большее x,

 $oldsymbol{b}_{\!\scriptscriptstyle 1}$ – дисперсия случайного процесса.

2.2. Алгоритм сигнального отношения с проверкой дисперсии

В алгоритме сигнального отношения, описываемом формулами (2.1) – (2.4), можно ввести дополнительное сравнение R(n) с порогом h:

R < h = > дефекта нет,

 $R \ge h \Longrightarrow$ есть дефект.

Полученный алгоритм сигнального отношения с проверкой дисперсии (АСО-д) обладает возможностью обнаруживать изменение дисперсии.

2.3. Алгоритм экспоненциального сглаживания

В качестве решающей функции можно использовать не отношение S(n) к R(n), а только S(n). В этом случае получим алгоритм экспоненциального сглаживания (АЭС) [6, 7]:

$$G(n) = (1-a)G(n-1) + ae(n), G(0) = 0.$$

3. Алгоритмы с памятью

В алгоритмах данного класса при расчете решающей функции на каждом шаге используются значения сигнала в предыдущие M моментов времени. Параметр M>0 называется глубиной памяти алгоритма.

Решение о наличии или отсутствии дефекта в каждый момент времени принимается на основе результатов сравнения:

G < h => дефекта нет, $G \ge h =>$ есть дефект,

где h > 0 – порог срабатывания.

3.1. Алгоритм Шьюхарта

Алгоритм Шьюхарта [7]:

$$G(n) = \begin{cases} 0, n < M \\ \frac{1}{M} \sum_{n=M+1}^{n} z(i), n \ge M \end{cases}$$
 (3.1)

Модификация алгоритма (рекуррентный вид)

Исходная формула (3.1) преобразуется к виду:

$$G(n) = \begin{cases} 0, n < M \\ \frac{1}{M} \sum_{i=1}^{M} z(i), n = M \\ G(n-1) + \frac{z(n) - z(n-M)}{M}, n > M \end{cases}$$

3.2. Алгоритм Дарховского-Бродского

Алгоритм Дарховского-Бродского [5, 7, 12]:

Алгоритм дарховского-Бродского [5, 7, 12].
$$G(n) = \begin{cases} 0, n < M \\ \max_{\lfloor aM \rfloor \le k \le \lfloor (1-a)M \rfloor} Y_M(k,n) |, n \ge M \end{cases},$$
 где $Y_M(k,n) = \frac{1}{k} \sum_{n=M+1}^{n-M+k} \sum_{n=M+k+1}^{n} \sum_{n=M+k+1}^{n}$

Модификация алгоритма (рекуррентный вид)

Исходная формула (3.2) преобразуется к виду:

$$Y_{M}(k,n) = Y_{M}(k,n-1) + \frac{z(n-M+k) - z(n-M)}{k} - \frac{z(n) - z(n-M+k)}{M-k}, n > M$$

Начальные условия: $Y_M(k,M) = \frac{1}{k} \sum_{i=1}^{k} z(i) - \frac{1}{M-k} \sum_{k=1}^{M} z(i)$.

3.3. Алгоритм Воробейчикова

Алгоритм Воробейчикова [9]:

$$G(n) = \begin{cases} h_0, n \le M \\ \max\{h_0, G(n-1) + r * sign(z_n - z_{n-M}) - q\}, n > M \end{cases}$$

где r > q – натуральные несократимые числа.

 $h_0 = r + q$ – минимальный порог срабатывания: $h > h_0$.

3.4. Алгоритм, основанный на принципе невязок

Решающая функция алгоритма, основанного на принципе невязок, формируется как невязка (расхождение) между наблюдаемой и принятой моделями случайного процесса z [2]:

$$G(n) = \frac{1}{\sqrt{2n}} \sum_{i=1}^{n} \left(\left(2(i) \right)^{2} - 1 \right).$$

Для получения возможности настройки алгоритма вводятся модификации алгоритма:

- вариант 1 – суммирование по окну с глубиной памяти M

$$G(n) = \frac{1}{\sqrt{2n}} \sum_{i=n-M+1}^{n} \left((2(i))^{2} - 1 \right);$$

– вариант 2 – через каждые M отсчетов после каждого "обнаружения" дефекта обнулять G ,

где M > 0 – глубина памяти,

$$\mathcal{U}(n) \in N(0,1)$$
:

1) если

$$z(n) \in N(\mathbf{m}_1, \mathbf{b}_1),$$

TO

$$\mathscr{U}(n) = \frac{z(n) - m_1}{b_1};$$

2) если z – процесс авторегрессии

$$z(n) = \mathbf{m}_{1} + \sum_{1}^{p} a_{i} (z(n-i) - \mathbf{m}_{1}) + b_{1} y(n),$$

$$y(n) \in N(0,1),$$

то

$$\mathcal{U}(n) = \frac{z(n) - m_1 - \sum_{1}^{p} a_i (z(n-i) - m_1)}{b_1}.$$

Аналитическая настройка параметров алгоритма

Вероятность ложного обнаружения для этого алгоритма может быть определена на основе использования марковских процессов [14]. Такой подход позволяет получить следующее выражение для вероятности ложного обнаружения:

$$P_{\text{ло}} = \frac{1 - \prod_{i=1}^{M} p_i}{2 + \sum_{j=1}^{M-1} \prod_{i=1}^{j} p_i - \prod_{i=1}^{M} p_i},$$
 где $p_i = \begin{cases} F_i \left(h\sqrt{2i} + i \right) - F_i \left(-h\sqrt{2i} + i \right), h \leq \sqrt{\frac{i}{2}} \\ F_i \left(h\sqrt{2i} + i \right), h > \sqrt{\frac{i}{2}} \end{cases}$

 F_i – функция распределения c^2 с i степенями свободы,

M – глубина памяти,

h – порог срабатывания алгоритма.

Модификация алгоритма (рекуррентный вид)

Исходная формула (2.39) преобразуется к виду:

$$G(n) = \sqrt{\frac{n-1}{n}} \cdot G(n-1) + \frac{1}{\sqrt{2n}} \left(\left(2(n) \right)^2 - 1 \right).$$

Начальные условия: $G(1) = \frac{1}{\sqrt{2}} ((2(1))^2 - 1).$

3.5. Алгоритм, основанный на проверке обобщенной дисперсии

Алгоритм, основанный на проверке обобщенной дисперсии (АОД) [10]:

$$G(n) = \begin{cases} 0, n < M \\ \det(S_n), n \ge M \end{cases},$$

где
$$S_n = \frac{1}{M-1} \sum_{n=M+1}^{n} (z(i) - m_n)(z(i) - m_n)^T, n \ge M,$$
 (3.3)

$$m_n = \frac{1}{M} \sum_{n-M+1}^{n} z(i), n \ge M$$
 (3.4)

Модификация алгоритма (рекуррентный вид)

Исходные формулы (3.3) – (3.4) преобразуются к виду (примем для простоты размерность вектора z равной 1):

$$S_n = S_{n-1} + rac{z(n) - z(n-M)}{M-1} igg(z(n) + z(n-M) - 2m_{n-1} - rac{1}{M}igg),$$
 $n > M$ $m_n = m_{n-1} + rac{z(n) - z(n-M)}{M}, n > M$, Начальные условия:

$$m_n = m_{n-1} + \frac{z(n) - z(n-M)}{M}, n > M$$

$$S_{M} = \frac{1}{M-1} \sum_{i=1}^{M} (z(i) - m_{M})^{2},$$

$$m_{M} = \frac{1}{M} \sum_{i=1}^{M} z(i).$$

4. Другие алгоритмы

4.1. Алгоритм, основанный на интервальном подходе

Толерантный интервал – это интервал, который с заданной вероятностью д покрывает d случайных величин из всей выборки, 0 < g < 1, 0 < d < 1. Доверительный интервал – это интервал, который с заданной вероятностью q покрывает величину, 0 < q < 1.

Задавая доверительную вероятность q, строим доверительный интервал $[u_1, u_2]$ для сигнала $z(n) \in N(m_1, b_1)$ с помощью квантилей распределения Стьюдента $t_{1+q}(n-1)$

[11]:

$$u_1(n) = m_n - t_{\frac{1+q}{2}}(n-1)\frac{S_n}{\sqrt{n}},$$

$$u_2(n) = m_n + t_{\frac{1+q}{2}}(n-1)\frac{S_n}{\sqrt{n}},$$

где
$$m_n = \frac{1}{n} \sum_{i=1}^{n} z(i),$$
 (4.1)

$$S_n^2 = \frac{1}{n-1} \sum_{i=1}^{n} (z(i) - m_n)^2, \ n > 1.$$
 (4.2)

Для нахождения m_n и $S_n^{\,2}$ можно использовать «принцип движущегося окна»:

$$m_n = \frac{1}{M} \sum_{n-M+1}^{n} z(i)$$

$$S_n^2 = \frac{1}{M-1} \sum_{n-M+1}^{n} (z(i) - m_n)^2$$

 $M - 1_{n-M+1}$ "
Задавая g и d , находим толерантный множитель K :

$$K_n = T_{\infty} \left(1 + \frac{T_g}{\sqrt{2n}} + \frac{5T_g^2 + 10}{12n} \right),$$

где $T_{\scriptscriptstyle \infty}, T_{\!g}\,$ – абсциссы нормированной функции Лапласа ${\cal \Phi}_{\!\scriptscriptstyle 0}(T)$:

$$d = 2\Phi_0(T_{\infty}), \Phi_0(T_g) = g - 0.5,$$

$$\Phi_0(x) = \frac{1}{\sqrt{2p}} \int_0^x e^{-\frac{1}{2}z^2} dz = \frac{1}{2} erf\left(\frac{x}{\sqrt{2}}\right).$$

Строим толерантный интервал $[l_1, l_2]$:

$$l_1(n) = m_n - K_n S_n,$$

 $l_2(n) = m_n + K_n S_n.$

Решение принимается, исходя из анализа полученных интервалов:

$$u_2 \ge l_1, l_2 \ge u_1 = >$$
 дефекта нет,

$$u_2 < l_1$$
 или $l_2 < u_1 = >$ есть дефект.

Модификация алгоритма (рекуррентный вид)

Исходные формулы (4.1) - (4.2) преобразуются к виду:

$$m_n = \frac{n-1}{n} m_{n-1} + \frac{1}{n} z(n), n > 1,$$

$$S_n^2 = \frac{n-2}{n-1} S_{n-1}^2 + \frac{1}{n} (z(n) - m_{n-1})^2, n > 1.$$

Начальные условия:
$$m_2 = \frac{z(1) + z(2)}{2}$$
, $S_2^2 = \frac{(z(1) - z(2))^2}{2}$.

4.2. Допусковый алгоритм

Допусковый алгоритм состоит в проверке нахождения в допуске значений сигнала z [1]:

$$G(n) = z(n)$$
.

Решение о наличии или отсутствии дефекта в каждый момент времени принимается на основе результатов сравнения:

$$h_1 < G < h_2 =>$$
 дефекта нет,

$$G \ge h_2, G \le h_1 \Longrightarrow$$
 есть дефект,

где $h_1 < h_2$ – нижний и верхний пороги срабатывания:

Аналитическая настройка параметров алгоритма

Оценка вероятности ложного обнаружения определяется по формуле:

$$P_{NO} = 1 - \frac{1}{2} erf\left(\frac{h_2 - \mathbf{m}_1}{\mathbf{b}_1 \sqrt{2}}\right) + \frac{1}{2} erf\left(\frac{h_1 - \mathbf{m}_1}{\mathbf{b}_1 \sqrt{2}}\right),$$

$$erf(x) = \frac{2}{2} \int_{1}^{x} e^{-t^2} dt$$
(3.6)

$$erf(x) = \frac{2}{\sqrt{p}} \int_{0}^{x} e^{-t^2} dt$$

где $h_1 < h_2$ – нижний и верхний пороги срабатывания.

4.3. Алгоритм Гиршика-Рубина-Ширяева

Решающая функция данного алгоритма Гиршика-Рубина-Ширяева (ГРШ) рассчитывается по следующей формуле [3, 4]:

$$G(n) = e^{z(n)}(1 + G(n-1)),$$

$$G(0)=0$$

Для получения возможности настройки алгоритма вводится модификация алгоритма:

$$G(n) = e^{z(n)-n} (1 + G(n-1)),$$

где n > 0 – порог чувствительности алгоритма,

Аналитическая настройка параметров алгоритма

Оценка среднего времени обнаружения определяется по формуле [7]:

$$\mathcal{T} = \frac{\ln h}{\mathbf{m}_2 - \mathbf{m}_1 - \left| \mathbf{m}_1 \right|},$$

где *т*, – математическое ожидание процесса до разладки,

т₂ – математическое ожидание процесса после разладки,

h – порог срабатывания алгоритма.

Свойства алгоритмов

Алгоритм	Обнаружение изменения среднего	Обнаружение изменения дисперсии	Восстана- вливаемые дефекты	Трудо- емкость	Память	Возмож- ность аналити- ческой настройки
Пейдж	+	_		быстрый	мало	+
AKC	+	_		быстрый	мало	+
АКС-м	+	_		быстрый	мало	
АКС-м2	+	_		быстрый	мало	
CC	+	_		быстрый	мало	
HP	+	_		быстрый	мало	
ACO	+	_	+ -	средний	мало	+
АСО-д	+	+	++	средний	мало	
АЭС	+	_	+ -	быстрый	мало	
Шьюхарта	+	_		быстрый	много	
Дарховского- Бродского	+	_		очень медленный	много	
Воробейчикова	+	_	+ -	быстрый	много	
Невязок	+	+	++	средний	много	+
АОД	+	+		средний	много	
Интервальный	+	_		медленный	много	
Допусковый	+	+	++	быстрый	мало	+
ГРШ	+	+	++	средний	мало	+

СПИСОК ИСПОЛЬЗОВАННЫХ ИСТОЧНИКОВ

- 1. Бендерская Е.Н., Колесников Д.Н., Пахомова В.И. Функциональная диагностика систем управления: Учебное пособие / СПбГТУ. СПб.: Изд-во СПбГТУ, 2000. 143 с.
- 2. Бородкин Л.И., Моттль В.В. Алгоритм обнаружения моментов изменения параметров уравнения случайного процесса // Автоматика и телемеханика. 1976. №6. с. 23-32.
- 3. Бродский Б.Е. Асимптотически оптимальные методы в задаче скорейшего обнаружения разладки. І. Характеристики методов скорейшего обнаружения разладки // Автоматика и телемеханика. 1995. №9. с. 60-72.
- 4. Бродский Б.Е. Асимптотически оптимальные методы в задаче скорейшего обнаружения разладки. II. Исследование методов скорейшего обнаружения // Автоматика и телемеханика. 1995. №10. с. 50-59.
- 5. Бродский Б.Е., Дарховский Б.С. О задаче скорейшего обнаружения момента изменения вероятностных характеристик случайной последовательности // Автоматика и телемеханика. 1983. №10. с. 125-131.
- 6. Бродский Б.Е., Дарховский Б.С. Проблемы и методы вероятностной диагностики // Автоматика и телемеханика. 1999. №8. с. 3-50.
- 7. Бродский Б.Е., Дарховский Б.С. Сравнительный анализ некоторых непараметрических методов скорейшего обнаружения момента "разладки" случайной последовательности // Теория вероятностей и ее применения. 1990. т.35, №4. с. 655-668.
- 8. Бывайков М.Е., Ромащев А.А. О робастности в задаче обнаружения изменения параметра сдвига случайного процесса // Автоматика и телемеханика. 1989. №7. с. 138-143.
- 9. Воробейчиков С.Э. Об обнаружении изменения среднего в последовательности случайных величин // Автоматика и телемеханика. 1998. №3. с. 50-56.
- 10. Гаджиев Ч.М. Проверка обобщенной дисперсии обновляющей последовательности фильтра Калмана в задачах динамического диагностирования // Автоматика и телемеханика. 1994. №8. с. 98-104.
- 11. Гаджиев Ч.М. Прогнозирование технического состояния динамических систем по обновляющей последовательности фильтра Калмана // Автоматика и телемеханика. 1993. №5. с. 163-167.
- 12. Дарховский Б.С., Бродский Б.Е. Непараметрический метод скорейшего обнаружения изменения среднего случайной последовательности // Теория вероятностей и ее применения. 1987. т.32, №4. с. 899-905.
- 13. Калишев О.Н. Метод диагностирования измерительных каналов с учетом предыстории // Автоматика и телемеханика. 1988. №6. с. 135-143.
- 14. Кемени Дж., Снелл Дж. Конечные цепи Маркова. М.: Наука, 1970. 271 с.
- 15. Никифоров И.В. Последовательное обнаружение изменения свойств временных рядов / Академия наук СССР. Институт проблем управления. М.: Наука, 1983. 200 с.
- 16. Никифоров И.В. Применение кумулятивных сумм для обнаружения изменения характеристик случайного процесса // Автоматика и телемеханика. 1979. №2. с. 48-58.
- Nadler J., Robbins N.B. Some characteristics of page's two-sided procedure for detecting a change in a location parameter. // The Annals of Mathematical Statistics. − 1971. − vol. 42, №2. − p. 231-238.
- 18. Segen J., Sanderson A.C. Detecting Change In a Time-Series // IEEE Transactions on Information Theory. 1980. vol. IT-26, №2. p. 249-255.